## ХИМИЯ И ХИМИЧЕСКИЕ ТЕХНОЛОГИИ

УДК 539.219.3:620.193

И.Н. Ганиев<sup>1</sup>, Р.Д. Исмонов<sup>1</sup>, Х.О. Одиназода<sup>1</sup>, А.М. Сафаров<sup>1</sup>, М.З. Курбонова<sup>2</sup>

<sup>1</sup>Таджикский технический университет им. М.С. Осими

<sup>2</sup>Таджикский национальный университет

## ВЛИЯНИЕ СОДЕРЖАНИЯ ГАЛЛИЯ, ИНДИЯ И ТАЛЛИЯ НА АНОДНОЕ ПОВЕДЕНИЕ АЛЮМИНИЕВОГО СПЛАВА АБ1 (AL+1%BE) В НЕЙТРАЛЬНОЙ СРЕДЕ

Введение небольших (0,1-0,5%) добавок бериллия нашло широкое применение в литых алюминиевых сплавах (эти добавки улучшают жидкотекучесть сплавов и способствуют измельчению зерна). Сплав алюминия с 2,5 % бериллия обладает высоким пределом прочности и стойкостью против коррозии [1]. Благодаря совокупному действию ряда факторов, присущих бериллию, последний обеспечивает снижение окисляемости алюминиевого сплава в сотни раз и является той добавкой, которая исключительно важна при разработке высокопрочного сплава, что в значительной степени решает проблему окисляемости [1].

Как известно [2, 3], диаграмма состояния системы Al-Be является эвтектической. Эвтектика кристаллизуется при  $645\,^{\circ}C$  и  $1\,^{\circ}M$  (по массе) бериллия. С учетом целого ряда преимуществ сплавов эвтектического состава (прежде всего это отсутствие интервала кристаллизации, минимальное значение усадки и др. технологические свойства) в качестве модельного был выбран сплав состава  $Al+1\,^{\circ}M$  Ве (сплав Ab-1).

Выбор галлия, индия и таллия в качестве легирующих добавки к сплаву AБ1 объясняется тем, что эти элементы отличаются более положительным значением стандартного электродного потенциала по сравнению с алюминием. Так, если стандартный электродный потенциал реакции  $A1^{3+} + 3e \rightleftharpoons A1$  составляет -1,66 B, то для реакции  $I1^{3+} + 3e \rightleftharpoons In$  имеем -0,342 B [4]. Отсюда, согласно теории катодного легирования металлов по H.Д. Томашову, добавление в металл, склонный к пассивации (алюминий), малых количеств компонентов, имеющих значительно более положительный потенциал, способствует улучшению его коррозионной стойкости [4].

В данном случае легирующие добавки, являясь катодными включениями, способны обеспечить в условиях низкой катодной поляризации протекание через систему значитель-

ного коррозионного тока. Это в свою очередь приводит к сдвигу потенциала основного металла (анода) в область, где этот металл пассивен. Таким образом, металл как-бы автоматически поддерживается в пассивном состоянии [4].

Сплавы для коррозионно-электрохимических исследований получали в шахтной печи сопротивления типа СШОЛ с использованием алюминиевой лигатуры с бериллием (1 %) и металлических галлия, индия и таллия. Применение лигатур дает возможность уменьшить угар легирующих металлов, а также получить сплавы исследуемых систем при более низких температурах. Из полученных сплавов отливали в графитовую изложницу стержни диам. 8 и длиной 140 мм. Нерабочая часть образцов изолировалась смолой (смесь 50 % канифоли и 50 % парафина). Рабочей поверхностью служил торец электрода. Перед погружением образца в рабочий раствор его торцевую часть зачищали наждачной бумагой, полировали, обезжиривали, тщательно промывали спиртом и затем погружали в раствор электролита NaCl. Температура раствора в ячейке поддерживалась постоянной (20 °C) с помощью термостата МІШ-8.

Для изучения электрохимических свойств тройных сплавов применяли потенциостатический метод исследования. Электрохимические испытания образцов проводили в потенциодинамическом режиме на потенциостате ПИ-50-1.1 со скоростью развертки потенциала 2 мВ/с в среде раствора электролита NaCl. ГОСТ 908 -85 «Металлы и сплавы. Определение показателей коррозии и коррозионной стойкости» рекомендует провести коррозионные исследования в среде электролита 3 %-го раствора NaCl. Для выяснения влияния хлорид-иона на коррозионную стойкость сплавов исследования также проводились при 10-кратном (0,3 % NaCl) и 100-кратном (0,03 % NaC1) уменьшении конкоррозионно-активного центрации

иона. Электродом сравнения служил хлорсеребряный, вспомогательным – платиновый.

Образцы потенциодинамически поляризовали в положительном направлении от потенциала, установившегося при погружении, до резкого возрастания тока в результате питтингообразования (рис. 1, кривая *I*). Затем образцы поляризовали в обратном направлении до потенциала — 1,2 В, в результате чего происходило подщелачивание приэлектродного слоя поверхности сплава и удаление оксидного слоя (рис. 1, кривые *II* и *III*). Наконец, образцы поляризовали вновь в положительном направлении, и из анодных кривых определяли основные электрохимические параметры (рис. 1, кривая *IV*).

В качестве примера на рис. 1 представлена полная поляризационная кривая исходного сплава АБ1 в среде электролита 3 %-го NaCl. На полученных таким образом поляризационных кривых определяли основные электрохимические характеристики сплавов: потенциал питтингообразования ( $E_{\text{п.о}}$ ), потенциал и ток коррозии ( $E_{\text{кор}}$  и  $i_{\text{кор}}$ ). Потенциал репассивации ( $E_{\text{р.п}}$ ) определяли графически как первый изгиб на обратном ходе анодной кривой, или как точку пересечения прямого и обратного ходов. Ток коррозии как основную электрохимическую характеристику процесса коррозии рассчитывали по катодной кривой с учетом тафелевской наклонной  $b_{\kappa} =$ 0,12 В, поскольку в нейтральных средах процесс питтинговой коррозии алюминия и его сплавов контролируется катодной реакцией ионизации кислорода. Скорость коррозии в свою очередь является функцией тока коррозии, определяемой по формуле

$$K = i_{\text{kop}} k$$
,

где k = 0,335 г/(A·ч) для алюминия.

Подробная методика снятия поляризационных кривых описана в работах [5-12].

Обобщенные результаты электрохимического исследования сплава AБ1 с галлием, индием и таллием представлены в табл. 1 и 2. Потенциал свободной коррозии сплавов с ростом концентрации легирующих элементов изменяется в положительном направлении оси ординат. С увеличением концентрации хлорид-иона потенциал свободной коррозии сплава AБ1 уменьшается от -0,560 В в среде электролита 0,03 %-го раствора NaCI до -0,728 В в среде 3 %-го раствора NaCI (табл. 1).

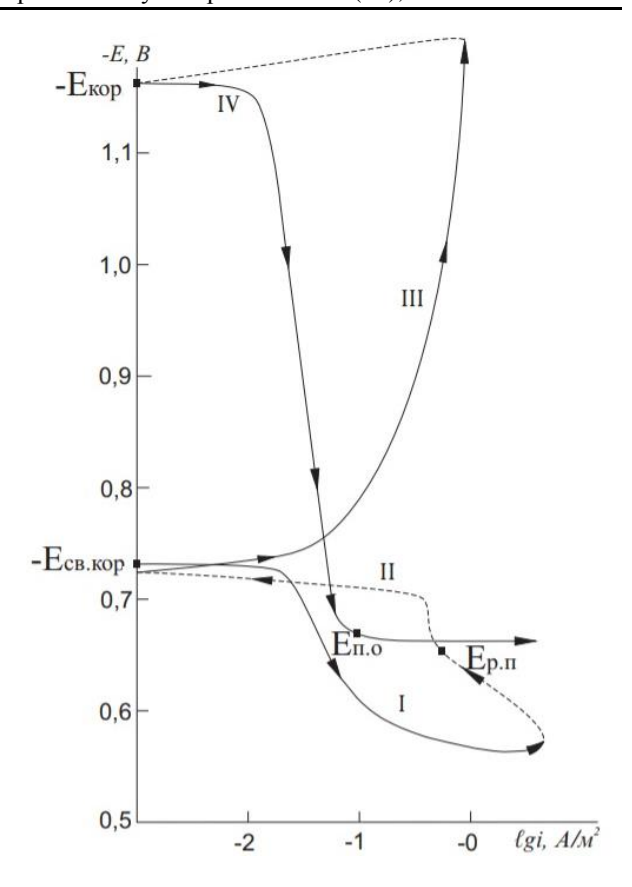


Рис. 1. Полная поляризационная (2 мВ/с) кривая сплава АБ1 в среде электролита 3 %-го раствора NaCl

Такая зависимость имеет место и для сплава АБ1, легированного галлием, индием и таллием, т. е. при переходе от слабого электролита к более сильному наблюдается уменьшение величины потенциала свободной коррозии независимо от содержания легирующего компонента в сплаве. Величины потенциалов питтингооброзования и репассивации сплава АБ1 с указанными элементами также по мере роста концентрации хлоридиона в электролите изменяются в отрицательном направлении оси ординат. Увеличение концентрации легирующих компонентов способствует росту величины потенциалов питтингообразования и репассивации во всех средах независимо от концентрации хлорид-иона. Установленные зависимости характерны для сплава АБ1 как с галлием, так и с индием и таллием. При переходе от сплавов с галлием к сплавам с индием и таллием потенциал свободной коррозии сплава АБ1 растет, т.е. изменяется в положительном направлении оси ординат (табл.1). Потенциал питтингообразования сплавов в указанном ряду от сплавов с галлием к сплавам с индием растет, а к сплавам с таллием – уменьшается.

Таблица 1

Потенциалы (х.с.э.) свободной коррозии ( $-E_{\text{св.корр}}$ , В) и питтингообразования ( $-E_{\text{п.о}}$ , В) сплава AБ1 с галлием, индием и таллием в среде электролита NaCl

| Среда    | Содержание Ga, In, | Сплавы c Ga             |                    | Сплавы с In        |                    | Сплавы с Tl             |                    |
|----------|--------------------|-------------------------|--------------------|--------------------|--------------------|-------------------------|--------------------|
| NaCl, %  | Tl,                |                         |                    |                    |                    |                         |                    |
| (по мас- | % (по массе)       | $-E_{\mathrm{cв.кopp}}$ | $-E_{\text{II.O}}$ | $-E_{\rm cb.кopp}$ | $-E_{\text{II.O}}$ | $-E_{\mathrm{cb.кopp}}$ | $-E_{\text{II.O}}$ |
| ce)      |                    |                         |                    | т                  |                    |                         |                    |
| 0,03     | _                  | 0,560                   | 0,490              | 0,560              | 0,490              | 0,560                   | 0,490              |
|          | 0,01               | 0,524                   | 0,450              | 0,510              | 0,440              | 0,496                   | 0,470              |
|          | 0,05               | 0,516                   | 0,440              | 0,500              | 0,424              | 0,486                   | 0,460              |
|          | 0,10               | 0,510                   | 0,420              | 0,495              | 0,412              | 0,475                   | 0,452              |
|          | 0,50               | 0,506                   | 0,410              | 0,490              | 0,400              | 0,468                   | 0,440              |
| 0,30     | _                  | 0,600                   | 0,560              | 0,600              | 0,560              | 0,600                   | 0,560              |
|          | 0,01               | 0,565                   | 0,530              | 0,570              | 0,520              | 0,550                   | 0,550              |
|          | 0,05               | 0,560                   | 0,525              | 0,566              | 0,510              | 0,542                   | 0,538              |
|          | 0,10               | 0,556                   | 0,520              | 0,560              | 0,500              | 0,534                   | 0,530              |
|          | 0,50               | 0,552                   | 0,510              | 0,556              | 0,485              | 0,528                   | 0,520              |
| 3,00     | _                  | 0,728                   | 0,670              | 0,728              | 0,670              | 0,728                   | 0,670              |
|          | 0,01               | 0,660                   | 0,600              | 0,642              | 0,580              | 0,616                   | 0,640              |
|          | 0,05               | 0,650                   | 0,590              | 0,632              | 0,565              | 0,610                   | 0,632              |
|          | 0,10               | 0,638                   | 0,580              | 0,626              | 0,540              | 0,604                   | 0,620              |
|          | 0,50               | 0,630                   | 0,575              | 0,620              | 0,520              | 0,596                   | 0,610              |

Плотность тока коррозии и соответственно скорость коррозии сплава AБ1 с галлием, индием и таллием с ростом концентрации хлорид-иона увеличивается. Эта зависимость характерна для всех сплавов независимо от их состава и особенностей физико-химических свойств легирующего компонента. При переходе от сплава AБ1 с галлием к сплавам с ин-

дием и таллием наблюдается уменьшение скорости коррозии, что коррелирует с изменением потенциала свободной коррозии сплавов (табл. 1 и 2) и некоррелирует со свойствами самых элементов. Для исходного сплава АБ1 также характерен рост скорости коррозии с увеличением концентрации хлорид-иона в электролите (табл. 2).

Таблица 2

Зависимость скорости коррозии сплава АБ1 с галлием, индием и таллием в среде электролита NaCl

| Среда<br>NaCl, %<br>(по массе) | Содержание<br>Ga, In, Tl,<br>% (по массе) | Скорость коррозии              |                           |                                 |                           |                                 |                        |  |
|--------------------------------|---|--------------------------------|---------------------------|---------------------------------|---------------------------|---------------------------------|------------------------|--|
|                                |   | сплавов с Ga                   |                           | сплавов с In                    |                           | сплавов с Tl                    |                        |  |
|                                |   | <i>i</i> корр·10 <sup>-2</sup> | K ·10⁻³                   | <i>i</i> корр∙ 10 <sup>-2</sup> | K ·10⁻³                   | $i_{\text{kopp}} \cdot 10^{-2}$ | K ⋅10 <sup>-3</sup>    |  |
|                                |   | $A/m^2$                        | $\Gamma/(M^2 \cdot \Psi)$ | $A/m^2$                         | $\Gamma/(M^2 \cdot \Psi)$ | $A/M^2$                         | $\Gamma/(M^2 \cdot H)$ |  |
|                                | _   | 0,031                          | 10,38                     | 0,031                           | 10,38                     | 0,031                           | 10,38                  |  |
|                                | 0,01                                      | 0,028                          | 9,38                      | 0,023                           | 7,70                      | 0,017                           | 5,70                   |  |
| 0,03                           | 0,05                                      | 0,026                          | 8,71                      | 0,021                           | 7,03                      | 0,015                           | 5,02                   |  |
|                                | 0,10                                      | 0,024                          | 8,04                      | 0,019                           | 6,36                      | 0,013                           | 4,35                   |  |
|                                | 0,50                                      | 0,022                          | 7,37                      | 0,018                           | 6,03                      | 0,011                           | 3,68                   |  |
|                                | _   | 0,036                          | 12,06                     | 0,036                           | 12,06                     | 0,036                           | 12,06                  |  |
| 0,30                           | 0,01                                      | 0,034                          | 11,40                     | 0,030                           | 10,05                     | 0,028                           | 9,38                   |  |
|                                | 0,05                                      | 0,032                          | 10,72                     | 0,029                           | 9,71                      | 0,026                           | 8,71                   |  |
|                                | 0,10                                      | 0,030                          | 10,05                     | 0,027                           | 9,04                      | 0,023                           | 7,70                   |  |
|                                | 0,50                                      | 0,029                          | 9,71                      | 0,025                           | 8,37                      | 0,020                           | 6,7                    |  |
| 3,00                           | _   | 0,042                          | 14,07                     | 0,042                           | 14,07                     | 0,042                           | 14,07                  |  |
|                                | 0,01                                      | 0,041                          | 13,73                     | 0,038                           | 12,73                     | 0,037                           | 12,40                  |  |
|                                | 0,05                                      | 0,039                          | 13,06                     | 0,036                           | 12,06                     | 0,035                           | 11,72                  |  |
|                                | 0,10                                      | 0,037                          | 12,40                     | 0,034                           | 11,40                     | 0,032                           | 10,72                  |  |
|                                | 0,50                                      | ,035                           | 11,72                     | 0,033                           | 11,05                     | 0,030                           | 10,05                  |  |

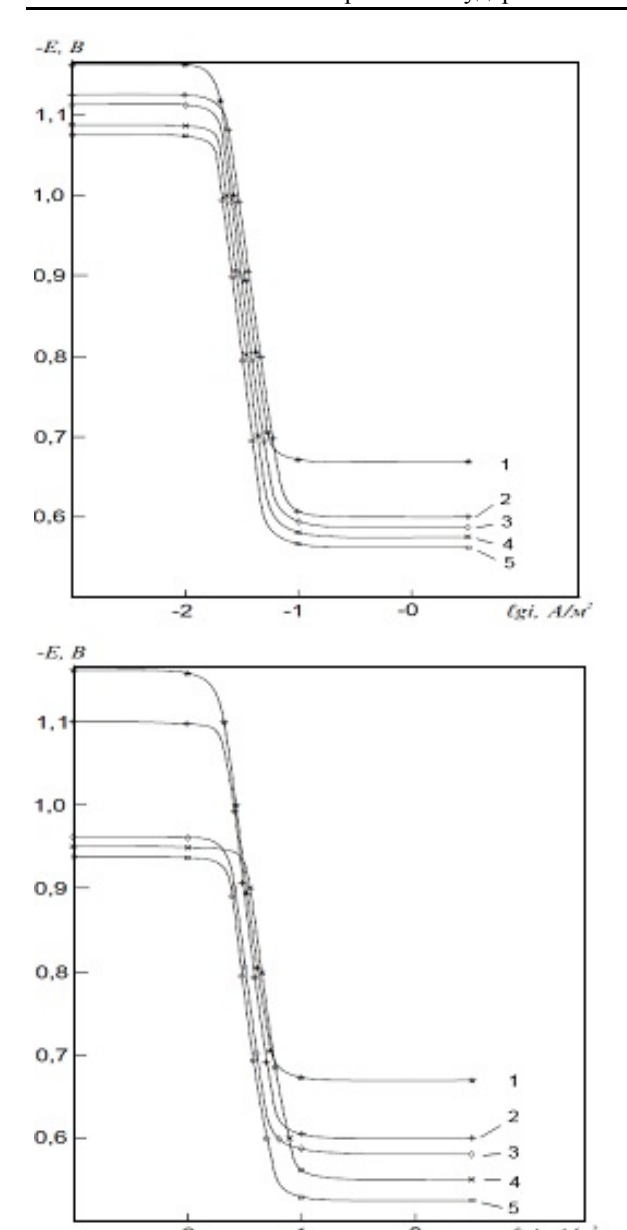


Рис. 2. Анодные ветви потенциодинамических (2 мВ/с) кривых сплава АБ1 (I) с галлием (a) и индием ( $\delta$ ), при их содержании 0,01 % (2); 0,05 % (3); 0,1 % (4); 0,5 % (5) в среде электролита 3 %-го раствора NaCl

Анодные ветви потенциодинамических кривых сплава AБ1 с галлием и индием в среде электролита 3 %-го NaCI (рис. 2) показывают, что кривые, относящиеся к легированным сплавам, располагаются левее кривой исходного сплава AБ1, т.е. скорость анодной коррозии трехкомпонентных сплавов в 2,0 — 2,5 раза меньше, чем у сплава AБ1 во всех исследованных средах.

Как известно, модификаторами структуры сплавов могут служить металлы, имеющие малую межатомную связь и, следовательно, низкую температуру плавления, малую прочность и твердость [13 – 15]. Диффузия в металлах происходит быстрее вдоль границ зерен, чем в

самых зернах. Наличие границ зерен в поликристаллах влияет на такие свойства, как внутреннее трение, скольжение и т.д. В случае диспергирования структуры продукты коррозии полностью перекрывают незначительную по величине межкристаллитную прослойку и этим усиливают пассивность металла. Таким действием чаще всего обладают s- и p- элементы, к которым относятся галлий, индий и таллий. Таким образом, существует корреляция между увеличением коррозионной стойкости и изменением зернистости сплава, что подтверждает существующие представления о модифицирующей роли модификаторов в коррозии сплавов. Как известно, при переходе границы растворимости на кривой зависимости состав - свойства наблюдается перелом, что соответствует точке предельной растворимости второго компонента в металле - основе (сплав АБ1). Исследованы электрохимические характеристики сплава АБ1, содержащего до 0,5 % галлия, индия и таллия. В изученном диапазоне концентраций зависимость плотности тока коррозии от состава носит монотонный характер, т.е. отсутствует точка перегиба, характерная для перехода границы области твердого раствора галлия, индия и таллия в сплаве АБ1.

Выводы. Установлено, что легирование сплава АБ1 до 0,5 % галлием, индием и таллием повышает его анодную устойчивость в 1,5 – 3,0 раза в среде электролита NaCI, что объясняется катодным действием этих элементов и увеличением термодинамической стабильности исходного сплава. При этом с ростом концентрации легирующего компонента отмечается изменение в положительном направлении оси ординат потенциалов свободной коррозии, питтингообразования и репассивации. С увеличением концентрации хлорид-иона в электролите значения указанных потенциалов сплавов уменьшаются, скорость коррозии увеличивается.

## БИБЛИОГРАФИЧЕСКИЙ СПИСОК

- **1.** Басс Н.В. Бериллий. –М.: ИЛ, 1960. С. 33 47.
- **2.** Мондольфо Л.Ф. Структура и свойства алюминиевых сплавов. М.: Металлургия, 1979. 639 с.
- **3.** Сафаров А.М., Ганиев И.Н., Одинаев Х.О. Сплавы алюминия с бериллием и РЗМ. Берлин: Изд. дом LAP LAMBERT Academic Publishing GmdH & Co. KG, 2011. 170 с.

- **4.** Шлугер М.А., Ажогин Ф.Ф., Ефимов Е.А. Коррозия и защита металлов. М.: Металлургия, 1981. 216 с.
- 5. Сафаров А.М., Ганиев И.Н. Влияние малых добавок циркония и его аналогов на электрохимическое поведение алюминия // Доклады АН Республики Таджикистан. 2007. Т. 50. № 5. С. 255 261.
- **6.** Исмонов Р.Д., Ганиев И.Н., Сафаров А.М, Самиев К.А. Анодное поведение сплава АБ1, легированного галлием, в среде электролита 0,3 %-го NaCl // Вестник технологического университета Таджикистана. 2017. № 2 (29). С. 7 11.
- 7. Исмонов Р.Д., Ганиев И.Н., Одиназода Х.О, Сафаров А.М. О коррозионном потенциале сплава АБ1, легированного индием, в среде электролита NaCl // Политехнический вестник. Серия: Инженерные исследования. 2017. № 3 (39). С. 17 23.
- 8. Сафаров А.М., Ганиев И.Н., Одинаев Х.О. Физикохимия алюминиевых сплавов с бериллием и РЗМ. Душанбе: изд. Филиала МГУ, 2011. 282 с.
- 9. Ганиев И.Н., Якубов У.Ш., Сангов М.М., Хакимов А.Х. Анодное поведение сплава АЖ5К10, модифицированного стронцием, в среде электролита NaCl // Вестник Сибирского государственного индрустиального университета. 2017. № 4 (22). С. 57 – 62.
- **10.** Ганиев И.Н., Муллоева Н.М., Ниёзов О.Х., Эшов Б.Б., Ходжаев Ф.К. Влияние щелочно-

- земельных металлов на анодное поведение свинца в нейтральной среде // Вестник Сибирского государственного индустриального университета. 2017. № 1 (19). С. 49 53.
- 11. Раджабалиев С.С., Ганиев И.Н., Амонов И.Т. Влияние свинца на анодное поведение сплава Al + 2,18 % Fe // Известия Санкт-Петербургского государственного технологического института (технического университета). 2016. № 35 (61). С. 34 38.
- 12. Исмонов Р.Д., Ганиев И.Н., Одиназода X.О., Сафаров А.М. Влияние таллия на анодное поведение сплава Al + 1 % Ве // Политехнический вестник. Серия: Инженерные исследования. 2017. № 4 (40). С. 67 74.
- **13.** Ганиев И.Н., Вахобов А.В. Стронций эффективный модификатор силуминов // Литейное производство. 2000. № 5. С. 28.
- **14.** Каргаполова Т.Б., Ганиев И.Н., Махмадуллоев Х.А., Хакдодов М.М. Барий новый модификатор силуминов // Литейное производство. 2001. № 10. С. 6 9.
- **15.** Семенченко В.К. Поверхностные явления в металлах и сплавах. М.: Изд-во научнотехнич. литературы, 1956. 135 с.

© 2018 г. И.Н. Ганиев, Р.Д. Исмонов, X.О. Одиназода, А.М. Сафаров, М.З. Курбонова Поступила 3 мая 2018 г.